

# 无机化学学报

2024年

第40卷

第7期

## 目次

### 论文

- 自组装 $[\text{Pd}_6(\text{L})_4]^{8+}$ 型大环配合物用于荧光传感 $\text{HSO}_3^-$ (英文)  
..... 牛晓菲 王珂 宋峰岩 于澍燕(1233)
- 基于有机溶剂原位制备的致密疏水铜金属层在保护锌负极中的应用  
..... 罗秋洋 唐晓宁 夏澍 刘璐楠 杨兴富 雷杰(1243)
- Cu掺杂对 $\text{Au}_{11}(\text{dppf})_4\text{Cl}_2$ 纳米团簇结构和光学性质的影响  
..... 周鹏 蔡潇 马清祥 刘旭(1254)
- 吡啶基NCN钳型钛族金属配合物的合成及其催化苯乙烯聚合反应  
..... 刘欢欢 童尧 黄江胜 王芬华(1261)
- 分级中空结构BiOBr-Pt催化剂用于光催化 $\text{CO}_2$ 还原  
..... 王坤 刘文蕊 江鹏 宋宇航 陈丽华 邓兆(1270)
- 高硅ZSM-5沸石孔道和酸性的协同调控及其催化甲醇制丙烯反应性能  
..... 李兴扬 刘田菊 高阳 张丹丹 周勇 潘梦(1279)
- $\text{I}_2$ 界面修饰对全无机 $\text{CsPbBr}_3$ 钙钛矿太阳能电池性能的影响  
..... 王则远 郑松志 李浩 翁敬菠 王威 汪杨 孙伟海(1290)
- 两个丁二肟有机锡配合物的合成、结构及抗癌活性  
..... 卿菁菁 何帆 刘智辉 侯帅鹏  
刘娅 蒋一凡 谭梦婷 何丽芳 张复兴 朱小明(1301)
- $\text{Cu}_2\text{O}/\text{Cu}$ -垂直石墨烯微电极的制备及尿酸/脑电的检测  
..... 白浩 冀伟志 陈瑾妍 李红姬 李明吉(1309)
- $\text{Y}(\text{PO}_3)_3$ 双包覆改性对 $\text{Li}[\text{Ni}_{0.8}\text{Co}_{0.15}\text{Al}_{0.05}]\text{O}_2$ 电化学性能的影响  
..... 李泓漪 吴爱民 赵刘洋 刘新朋 陈凤琴 李爱魁 黄昊(1320)
- 氧化石墨烯浓度对还原氧化石墨烯/ZnS电化学性能的影响  
..... 徐志环 康晴 龙玉珍 袁倩 刘次东 李信 唐耿怀 廖雨清(1329)
- 孔内富氨基的高稳定性铜基金属有机骨架高灵敏电化学传感多巴胺  
..... 苏婧 李冰融 白乙艳 籍文娟 杨海英 范哲锋(1337)
- 一例由多齿席夫碱构筑的 $\text{Tb}_2$ 配合物的结构、荧光性质及生物活性  
..... 马鑫 孙娅 孙楠 康倩 张佳佳 朱瑞涛 高晓丽(1347)
- PtRu/氮掺杂碳电催化甲醇氧化及电解水析氢性能  
..... 陈凯 吴锋顺 肖顺 张进宝 朱丽华(1357)
- 两个紫精-多酸杂化材料的合成、结构及其光致变色和光催化性质(英文)  
..... 刘慧荣 徐昊 朱敦如 张俊勇 宫春华 谢景力(1368)

|   |   |
|---|---|
| 刚性双(三氮唑)和羧酸混合配体构建的两种金属有机骨架材料及其在 CO <sub>2</sub> 环加成反应中的催化性质(英文)       | 王伟宸 宫春华 张俊勇 毕研峰 徐昊 谢景力(1377)  |
| 两种具有二次谐波响应的紫外透过氨基磺酸盐 A(NH <sub>2</sub> SO <sub>3</sub> )(A=Li、Na)(英文) | 莫翠伍 张刚敏 吴超 黄智鹏 张弛(1387)   |
| 三例基于 5-(二甲基氨基)间苯二甲酸的锌(II)/铜(II)配合物的合成、晶体结构、Hirshfeld 表面分析和荧光性质(英文)    | 王凯民 顾雄 邓娜 于红梅 叶艳青 马钰璐(1397)   |
| 脞基席夫碱配体铜(II)配合物的合成、结构表征、生物活性和密度泛函理论计算(英文)                             | Bhattacharjee Maitri Boruah Smriti Rekha Dutta Purkayastha R. N.<br>Maniukiewicz Waldemar Chowdhury Shubhamoy Maiti Debasish Akhtar Tamanna(1409) |
| 《无机化学学报》投稿须知  | (1421)  |





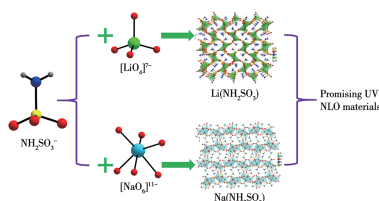






---

A(NH<sub>2</sub>SO<sub>3</sub>) (A=Li, Na): Two ultraviolet transparent sulfamates exhibiting second harmonic generation response (English)



The combination of amino sulfonate anions with two different alkali metals forms two nonlinear ultraviolet optical materials with a large bandgap.

MO Cuiwu, ZHANG Gangmin, WU Chao,  
HUANG Zhipeng, ZHANG Chi

DOI:10.11862/CJIC.20240045

, (7):1387-1396

---

Synthesis, structure, fluorescence properties, and Hirshfeld surface analysis of three Zn(II)/Cu(II) complexes based on 5-(dimethylamino)isophthalic acid (English)

WANG Kaimin, GU Xiong, DENG Na,  
YU Hongmei, YE Yanqin, MA Yulu

DOI:10.11862/CJIC.20240009

, (7):1397-1408

---

Synthesis, structural characterization, bio-activity, and density functional theory calculation on Cu(II) complexes with hydrazone-based Schiff base ligands (English)

Bhattacharjee Maitri, Boruah Smriti Rekha,  
Dutta Purkayastha R. N.,  
Maniukiewicz Waldemar,  
Chowdhury Shubhamoy, Maiti Debasish,  
Akhtar Tamanna

DOI:10.11862/CJIC.20240007

, (7):1409-1422

---

5-(Dimethylamino)isophthalic acid (H<sub>2</sub>dia) and 1H-imidazole (mdz) were used to react with different transition metals under similar conditions, resulting in three new 1D complexes, [Zn(dia)(mdz)<sub>2</sub>]·2H<sub>2</sub>O ( ), [Cu(dia)(mdz)<sub>2</sub>(DMF)] ( ), and [Cu(dia)(mdz)<sub>2</sub>]·H<sub>2</sub>O ( ). The syntheses, crystal structures, effects of the metal centers and solvent conditions on the structures, Hirshfeld surfaces, thermal stability and fluorescence properties were investigated.